

F4110
Fyzika atomárních soustav
letní semestr 2005 - 2006

V.
Synchrotronové záření

KOTLÁŘSKÁ 22. BŘEZNA 2006

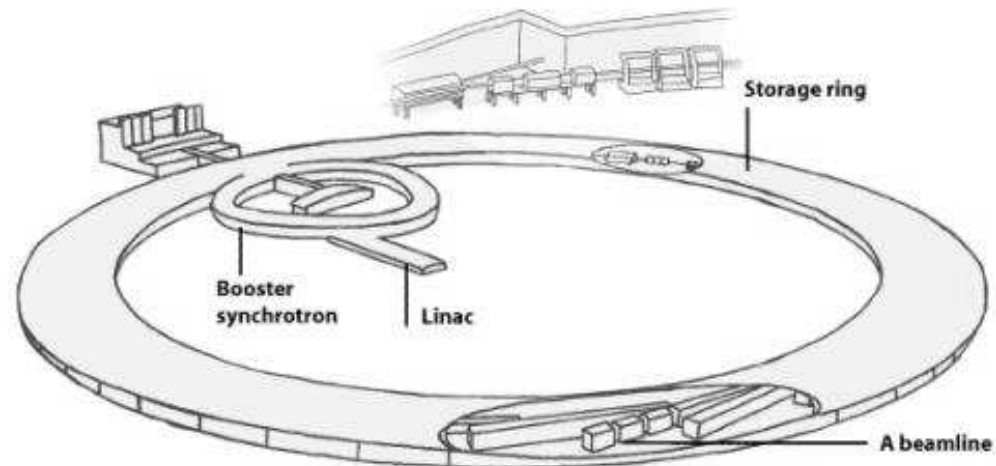
Úvodem

- Naposledy bez Planckovy konstanty, i když ...
- Odvolám se na znalosti z elektromagnetismu, optiky a relativity
- Synchrotronové záření (SZ) ... experimentální nástroj
- Od prof. Holého uslyšíte o výsledcích použití SZ
- Dnes: vlastnosti SZ a odpovídající konstrukci zdrojů
- Nádherná fyzika ... ultrarelativistický elektron
- Vlastně další z Einsteinových hvězdných prací: ta nejhvězdnější

Reklamní folie pro začátek

synchrotron

využití pro výzkum



kruh ... 844m

booster ... urychlení na $\sim 6\text{GeV}$

Proč se staví taková monstrosní zařízení jako zdroj světla?

Spektroskopické metody za použití SZ jsou základním nástrojem poznání

- v atomové fyzice
- v chemii
- materiálovém výzkumu – elektronové struktury
- materiálovém výzkumu – strukturní analýze
- v biochemii a biologii

Další aplikace SZ

- v technologii: litografie (uzavřené laboratoře ~ 1/3 kapacity)
- v medicíně

Proč se staví taková monstrosní zařízení jako zdroj světla?

Spektroskopické metody za použití SZ jsou základním nástrojem poznání

- v atomové fyzice
- v chemii
- materiálovém výzkumu – elektronové struktury
- materiálovém výzkumu – strukturní analýze
- v biochemii a biologii

Další aplikace SZ

- v technologii: litografie (uzavřené laboratoře ~ 1/3 kapacity)
- v medicíně

ANO, ALE PROČ JE SZ TAK ÚŽASNÉ?

- intenzivní zdroj elmg. záření
- spektrální obor od radiofrekvencí do XUV až ultratvrdého RTG (podle energie elektronů)
- záření je vysoce kolimované tečně k prstenci (rovnoběžný svazek)
- je téměř 100 % polarisované v rovině prstence
- má velmi výhodnou pulsní strukturu v čase (synchronní detekce)

... dnes: fyzikální podstata toho všeho

Začátky

Synchrotron objeven jako urychlovač částic

Brzy se ukázalo, že parazitní jev, vyzařování elmg. energie skoro dominuje činnost těchto zařízení

Záření jevílo již při relativně nízkých energiích elektronů uvedené vlastnosti a bylo vlastně dost nebezpečné

Roku 1949 vypracoval základní teorii SZ

Julian Schwinger (později Nobelova cena za elektroslabé interakce)

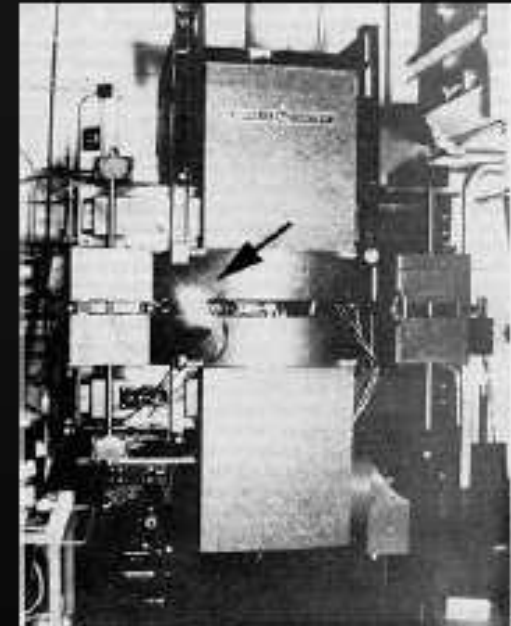
Již na konci 50 let žebrouili nečasticoví fysici, aby mohli SZ využívat.

Problémy: pokusy s částicemi a se světlem se špatně slad'ovaly, synchrotrony také nebyly ideální zdroje.

Proto vznikla myšlenka **dedikovaných zdrojů SZ**

Ta se ujala, protože stejně synchrotrony pro částicovou fysiku ztratily význam.

GE Synchrotron New York State



**First light observed
1947**

Klíkatá cesta

- 1873** Maxwellovy rovnice ... nerovnoměrná změna v rozložení nábojů ⇒
vyzařování elmg. energie
- 1878** Hertz ... generace elmg. vln, anténa → Hertzův dipól
- 1898** Liénard (-Wiechertovy) potenciály ... řešení Maxwellových rovnic pro
pole vyvolané libovolným pohybem bodového náboje
- 1907** Schott úplné řešení pro zářící náboj na kruhové orbitě (model
atomu) ... **úplně zapomenuto**
- ♠ ♠ ♠ ♠
- 1946** Blewett pozoroval ztráty energie u elektronů v betatronu, ale
nepozoroval žádné záření
Arcimovič a Pomerančuk obnovená teorie záření orbit. elektronu
- 1947** Pollock (vlastně Floyd Haber) náhodně pozorují záření synchrotronu
se 70 MeV elektrony
Alfvén & Herlofsen a Ginzburg & Šklovskij ... SR z Vesmíru
- 1948** Rozvoj radioteleskopie mlhovina Cassiopea A ... zdroj SR ...
- 1949** Schwinger „klasická“ klasická teorie SR
- 1954** Schwinger „klasická“ kvantová teorie SR

L'Éclairage Électrique

REVUE HEBDOMADAIRE D'ÉLECTRICITÉ

DIRECTION SCIENTIFIQUE

A. CORNU, Professeur à l'École Polytechnique, Membre de l'Institut. — A. DARSONVAL, Professeur au Collège de France, Membre de l'Institut. — G. LIPPMANN, Professeur à la Sorbonne, Membre de l'Institut. — D. MONNIER, Professeur à l'École centrale des Arts et Manufactures. — H. POINCARÉ, Professeur à la Sorbonne, Membre de l'Institut. — A. POTIER, Professeur à l'École des Mines, Membre de l'Institut. — J. BLONDIN, Professeur agrégé de l'Université.

CHAMP ÉLECTRIQUE ET MAGNÉTIQUE

PRODUIT PAR UNE CHARGE ÉLECTRIQUE CONCENTRÉE EN UN POINT ET ANIMÉE D'UN MOUVEMENT QUELCONQUE

Admettons qu'une masse électrique en mouvement de densité ρ et de vitesse u en chaque point produit le même champ qu'un courant de conduction d'intensité u . En conservant les notations d'un précédent article⁽¹⁾ nous obtiendrons pour déterminer le champ, les équations

$$\frac{1}{4\pi} \left(\frac{d^2 z}{dy^2} - \frac{d^2 z}{dt^2} \right) = \rho u_x + \frac{df}{dt} \quad (1)$$

$$V^2 \left(\frac{dh}{dy} - \frac{dg}{dt} \right) = -\frac{1}{4\pi} \frac{dx}{dt} \quad (2)$$

avec les analogues déduites par permutation tournante et en outre les suivantes

$$z = \left(\frac{df}{dx} + \frac{dg}{dy} + \frac{dh}{dt} \right) \quad (3)$$

$$\frac{dx}{dx} + \frac{dy}{dy} + \frac{dz}{dt} = 0. \quad (4)$$

De ce système d'équations on déduit facilement les relations

$$\left(V^2 - \frac{d^2}{dt^2} \right) f = V^2 \frac{d^2 z}{dx^2} + \frac{d}{dt} (\rho u_x) \quad (5)$$

$$\left(V^2 - \frac{d^2}{dt^2} \right) x = 4\pi V^2 \left[\frac{d}{dt} (\rho u_y) - \frac{d}{dy} (\rho u_x) \right] \quad (6)$$

⁽¹⁾ La théorie de Lorentz, *L'Éclairage Électrique*, t. XIV, p. 417. α, β, γ , sont les composantes de la force magnétique et f, g, h , celles du déplacement dans l'éther.

Soient maintenant quatre fonctions ψ, F, G, H définies par les conditions

$$\left(V^2 - \frac{d^2}{dt^2} \right) \psi = -4\pi V^2 \rho \quad (7)$$

$$\left(V^2 - \frac{d^2}{dt^2} \right) F = -4\pi V^2 \rho u_x$$

$$\left(V^2 - \frac{d^2}{dt^2} \right) G = -4\pi \rho u_y$$

$$\left(V^2 - \frac{d^2}{dt^2} \right) H = -4\pi V^2 \rho u_t \quad (8)$$

On satisfera aux conditions (5) et (6) en prenant

$$4\pi f = -\frac{d^2 \psi}{dx^2} - \frac{1}{V^2} \frac{dF}{dt} \quad (9)$$

$$z = \frac{dH}{dy} - \frac{dG}{dt} \quad (10)$$

Quant aux équations (1) à (4), pour qu'elles soient satisfaites, il faudra que, en plus de (7) et (8), on ait la condition

$$\frac{d^2 \psi}{dt^2} + \frac{dF}{dx} + \frac{dG}{dy} + \frac{dH}{dt} = 0. \quad (11)$$

Occupons-nous d'abord de l'équation (7). On sait que la solution la plus générale est la suivante :

$$\psi = \int \frac{\rho(x', y', z', t - \frac{r}{V})}{r} d\omega' \quad (12)$$

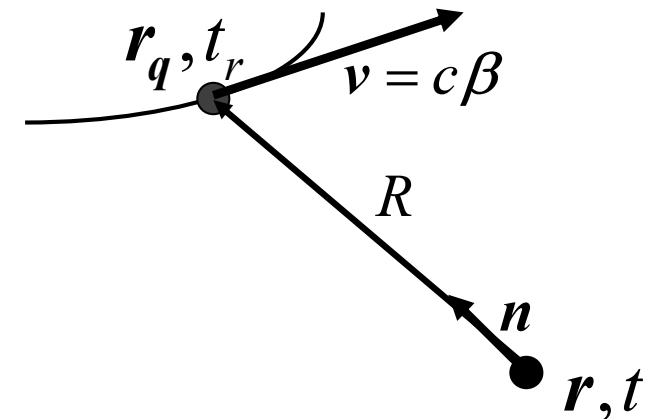
První strana Liénardovy práce
*jednoduchý, ale netriviální
výsledek*

například skalární potenciál:

$$\Phi(\mathbf{r}, t) = -\frac{q}{R(1 - n\beta)} \Big|_{t_r}$$

$$c \cdot (t - t_r) = |\mathbf{r} - \mathbf{r}_q(t_r)| \equiv R(t_r)$$

$$\beta = c^{-1} \mathbf{v}$$



SZ na nebi a na zemi

U nebeských objektů je SZ jedním z
nejvýznamnějších typů záření
netepelného původu.

Na Zemi jsou zdroje SZ ojedinělé jako zařízení,
kde se setkáme s ultrarelativistickými elektrony
v každodenním životě.

SZ ve vesmíru I.: Krabí mlhovina



Pozůstatek supernovy
z r. 1054
(tenkrát viditelná i za dne)

v souhvězdí Taurus (*Býk*)

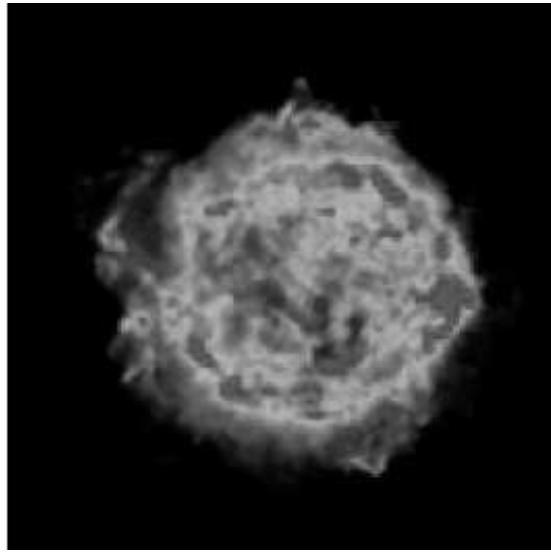
je to M1 v Messierově
katalogu

rozpíná se rychlostí 1450 km/s

jasná místa ... SZ v radiové i
viditelné spektrální oblasti

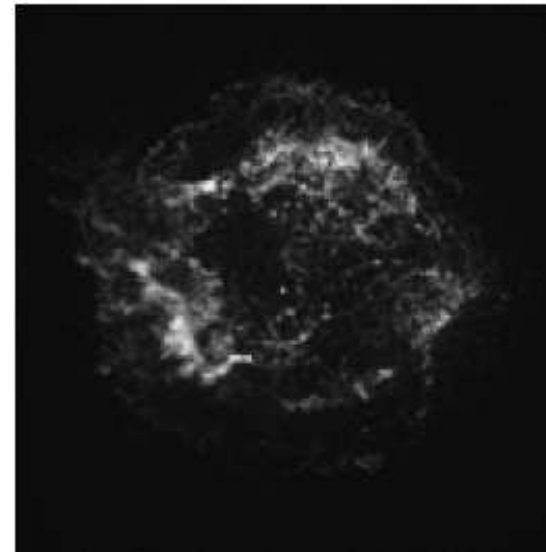
uprostřed neutronová hvězda
doplňující vyzářenou energii

SZ ve vesmíru II.: Cassiopea A



radiofrekvenční obraz

pozůstatek supernovy z r. 1572
pozorována Tycho Brahem
argument proti neměnnosti Vesmíru
dnes na místě radiový zdroj
jasná místa ... SZ

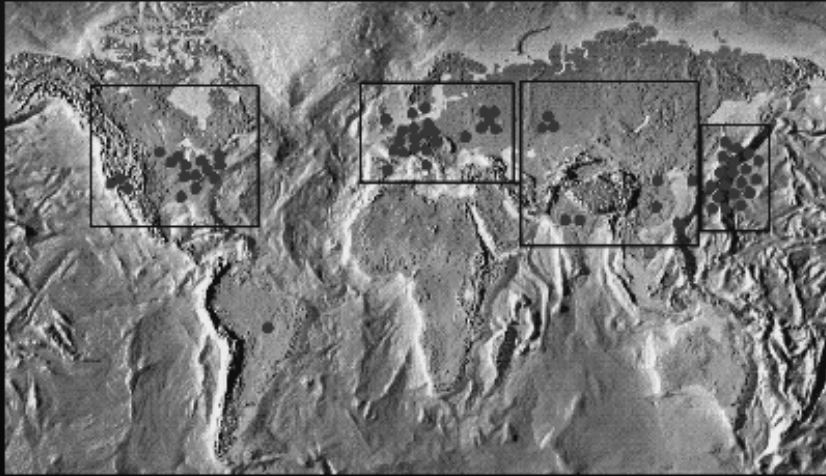


rengenový obraz

SZ vyznačuje dvě rázové vlny:
vnější je pozůstatek exploze, šíří se
rychlostí expanse mlhoviny
vnitřní je výsledkem vnitřní srážky
dvou vrstev, šíří se pomaleji, ale má
teplotu snad 10 000 000 K

Zpět na Zemi

20 000 users world-wide



Hlavní hnízda:

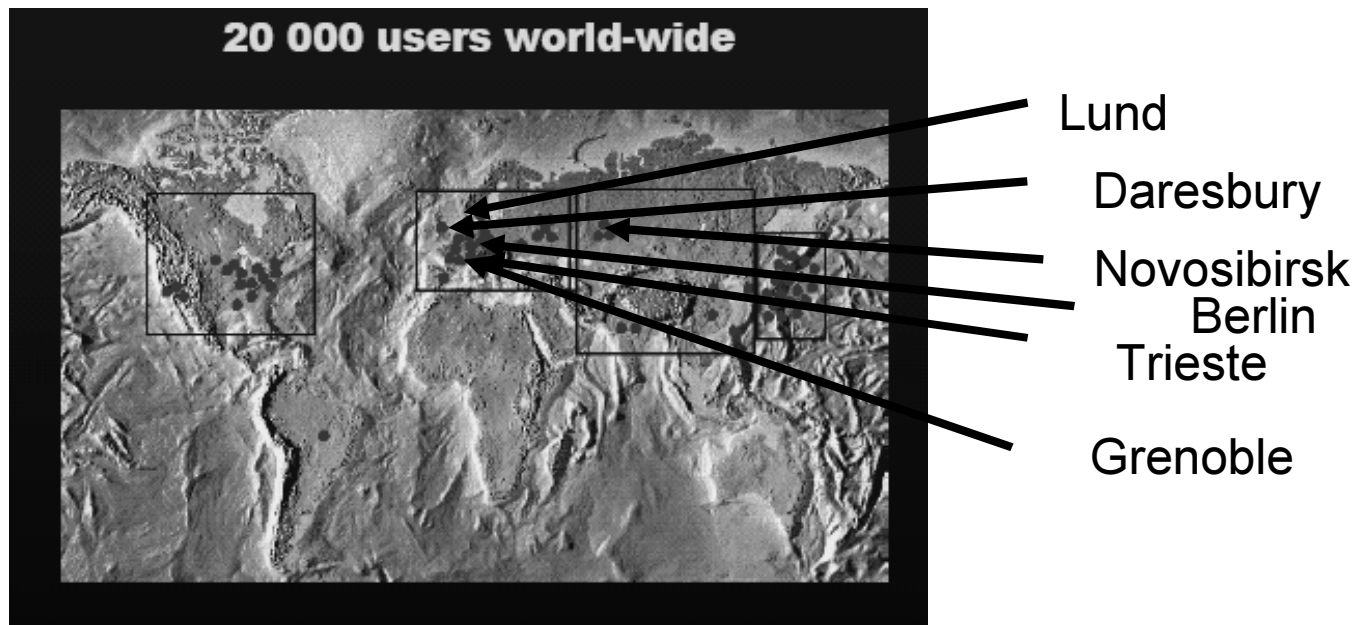
USA & Kanada

Evropa & Rusko

Asie

Japonsko

Zpět na Zemi



Nový způsob práce

- big science
- ambulantní způsob práce
- mezinárodní centra
- role místního personálu
- legionáři vědy

Vznik SZ v synchrotronu a v prostoru

Když ultrarelativistické elektrony krouží v konstantním magnetickém poli, vyzařují elmg. vlny v kuželi ostře kolimovaném ve směru pohybu.

Spektrum záření je kvazispojité. Jeho střed má frekvenci nesrovnatelně vyšší, než je frekvence oběhu elektronu samého.

Rychlý a pomalý kruhový pohyb elektronu

KLASICKÝ
OBRÁZEK ZE
VŠECH UČEBNIC

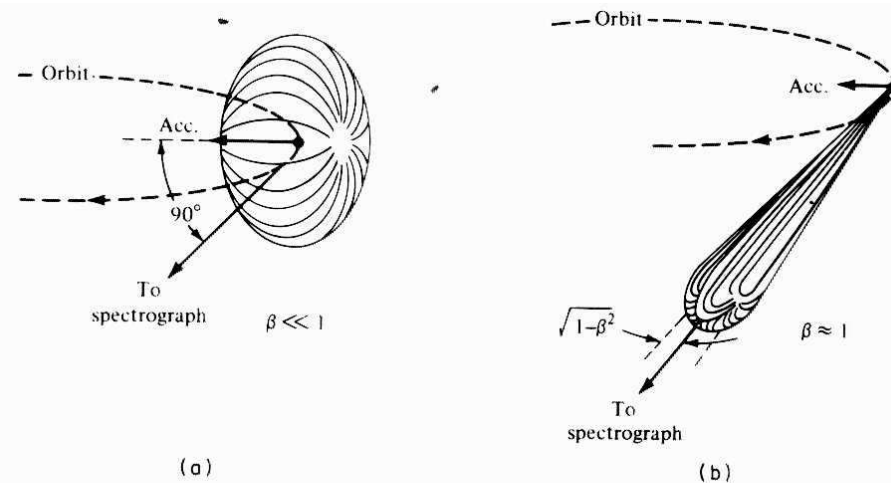


Figure 17.1 Angular intensity distribution of slow (a) and relativistic (b) electrons on a circular orbit. The dipole pattern (a) is strongly distorted (b) into the forward direction because of the relativistic speed of the electron; β , velocity in units of c . (From Tombouliau and Hartman⁵)

Rychlý a pomalý kruhový pohyb elektronu

KLASICKÝ
OBRÁZEK ZE
VŠECH UČEBNIC

při pomalém pohybu
elektron na kruhové
dráze září jako
superposice dvou
vzájemně kolmých
dipólů, tedy

**kosinový zářič s
okamžitým dipólem
kolmým na tečnu ke
kruhové dráze**

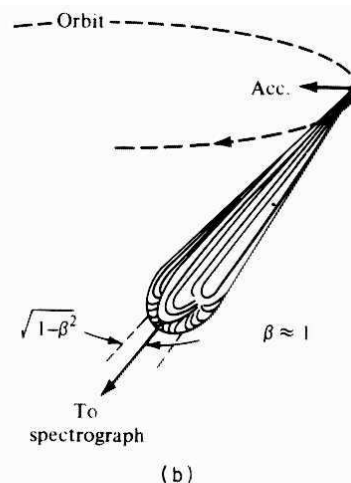
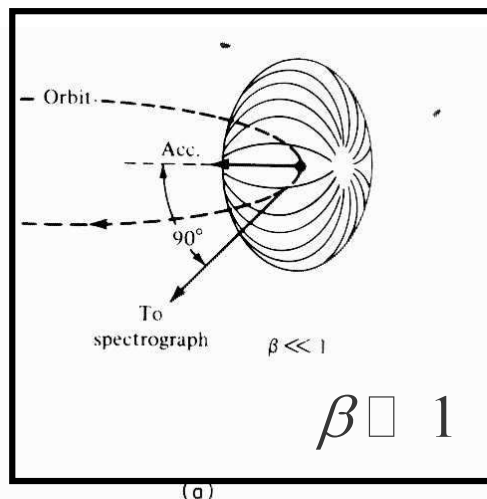


Figure 17.1 Angular intensity distribution of slow (a) and relativistic (b) electrons on a circular orbit. The dipole pattern (a) is strongly distorted (b) into the forward direction because of the relativistic speed of the electron; β , velocity in units of c . (From Tombouliau and Hartman⁵)

cyklotronové
nebo
betatronové
záření

Rychlý a pomalý kruhový pohyb elektronu

KLASICKÝ
OBRÁZEK ZE
VŠECH UČEBNIC

při pomalém pohybu
elektron na kruhové
dráze září jako
superposice dvou
vzájemně kolmých
dipólů, tedy

**kosinový zářič s
okamžitým dipólem
kolmým na tečnu ke
kruhové dráze**

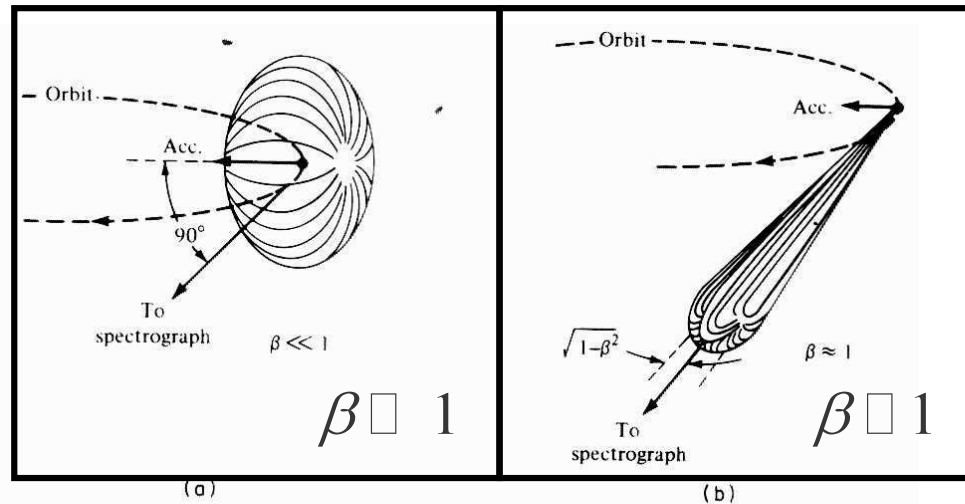


Figure 17.1 Angular intensity distribution of slow (a) and relativistic (b) electrons on a circular orbit. The dipole pattern (a) is strongly distorted (b) into the forward direction because of the relativistic speed of the electron; β , velocity in units of c . (From Tombouliau and Hartman⁵)

cyklotronové
nebo
betatronové
záření

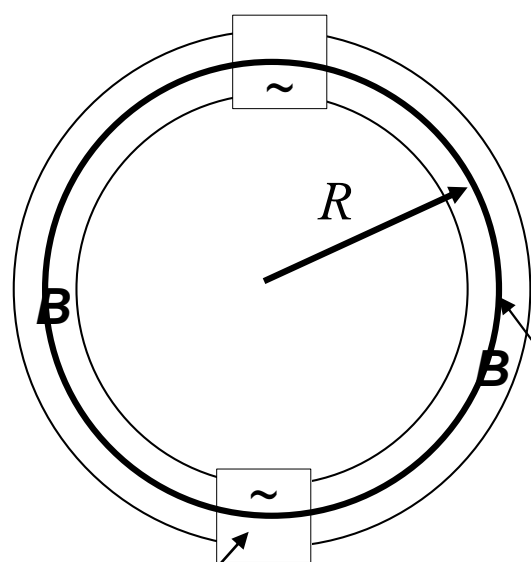
synchrotronové
záření

při rychlém pohybu
elektron na kruhové
dráze sám sebe
vnímá jako
superposici dvou
vzájemně kolmých
dipólů,

**pozorovatel však
vnímá vlny po
Lorentzově
transformaci, tedy
silně kolimované
vpřed**

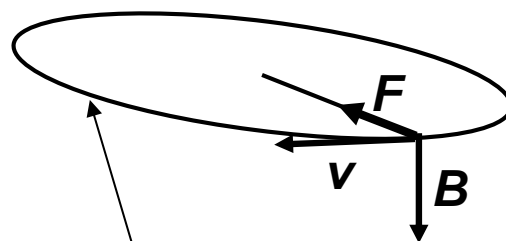
Ultrarelativistický elektron

Princip synchrotronu



synchronisované
střídavé
urychlovací
napětí

kompensuje
vyzařovací
ztráty



dráha
elektronu

Lorentzova síla,
pohybová rovnice

$$e < 0$$

$$\frac{d}{dt}(m\mathbf{v}) = e(\mathbf{E} + \mathbf{v} \times \mathbf{B})$$

relativistická označení

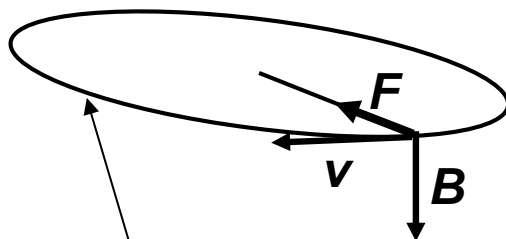
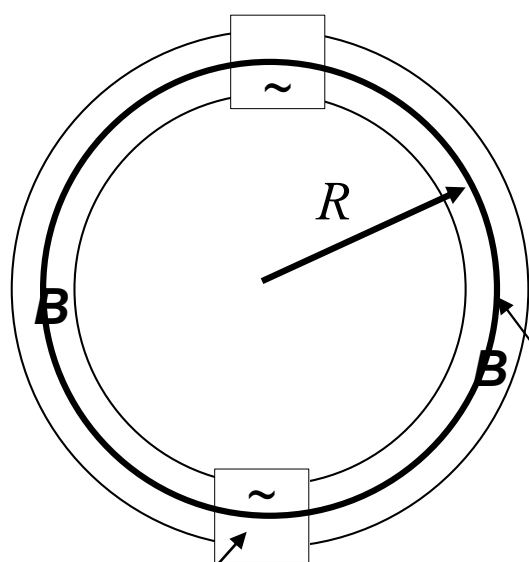
$$\frac{v}{c} = \beta$$

$$E = mc^2 = m_0c^2 \cdot \gamma$$

$$\frac{1}{c} \mathbf{v} = \boldsymbol{\beta}$$

$$\gamma = \frac{1}{\sqrt{1 - \beta^2}}$$

Princip synchrotronu



Lorentzova síla,
pohybová rovnice

$$e < 0$$

$$\frac{d}{dt}(m\mathbf{v}) = e(\mathbf{E} + \mathbf{v} \times \mathbf{B})$$

relativistická označení

$$\frac{v}{c} = \beta$$

$$E = mc^2 = m_0c^2 \cdot \gamma$$

$$\frac{1}{c} \mathbf{v} = \boldsymbol{\beta}$$

$$\gamma = \frac{1}{\sqrt{1 - \beta^2}}$$

Larmorova frekvence

$$\omega_L = \frac{v}{R} = \frac{eB}{m}$$

$$m \frac{v^2}{R} = evB$$

$$\frac{m}{m_0} = \frac{e}{m_0 v} BR$$

$$\gamma = \frac{eB}{m_0 c} R \cdot \beta^{-1}$$

v ultrarelativistickém
případě ~ 1

synchronisované
střídavé
urychlovací
napětí

kompensuje
vyzařovací
ztráty

dráha
elektronu

Ultrarelativistický elektron

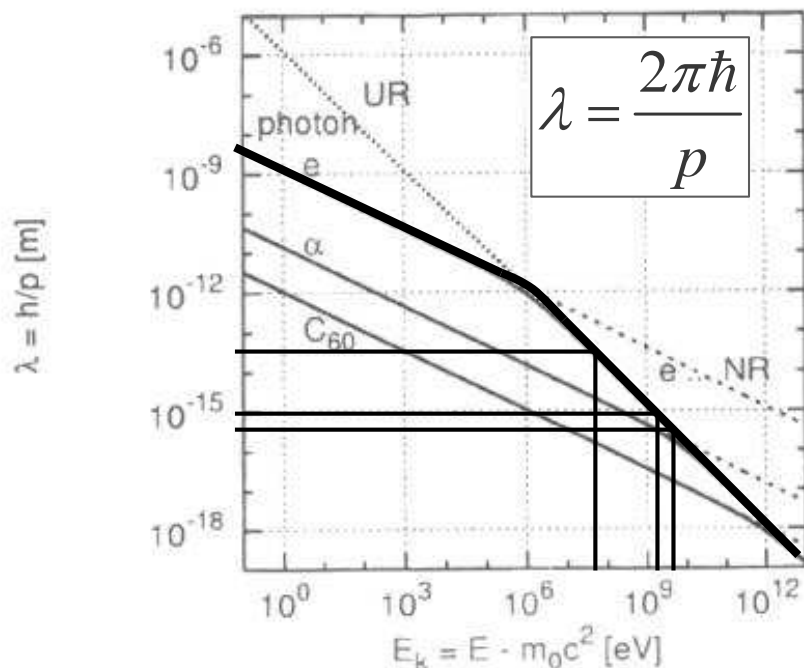
klidové energie elektronu $E_0 = m_0 c^2 = 0.5 \text{ MeV}$

typická energie v synchrotronu $E = 2 - 6 \text{ GeV}$

typická hodnota γ $\gamma = 4000 - 12000$

vztah β a γ

$$\gamma = \frac{1}{\sqrt{1-\beta^2}} \quad \beta = \sqrt{1-\frac{1}{\gamma^2}}$$
$$\beta \approx 1 - \frac{1}{2\gamma^2} \cong 1 - 10^{-7}$$



ZÁSObNÍK VZORCŮ

$$E = mc^2 = \frac{m_0}{\sqrt{1-\beta^2}} c^2, \beta = \frac{v}{c}$$

$$E = m_0c^2 + E_{\text{kin}}$$

$$p = mv$$

$$p = \sqrt{\frac{E_{\text{kin}}^2}{c^2} + 2m_0E_{\text{kin}}}$$

LIMITY (explicitní hodnoty platí pro elektrony)

nerelativistická („naše“)

předěl

ultrarelativistická

$$E_{\text{kin}} \ll m_0c^2$$

$$E_{\text{kin}} \ll 2m_0c^2$$

$$E_{\text{kin}} \gg m_0c^2$$

$$\lambda = \frac{2\pi\hbar}{\sqrt{2m_0E_{\text{kin}}}} = \frac{1.22}{\sqrt{E_{\text{kin}}}} \text{ (nm, eV)}$$

$$\approx 10^6 \text{ eV}$$

$$\lambda = \frac{2\pi\hbar c}{E_{\text{kin}}} = \frac{1.24}{E_{\text{kin}}} \text{ (\mu m, eV)}$$

Kolimace vyzářené vlny

Vlna vysílaná pohyblivým zdrojem

elektron
 \mathbf{v}
 x', y', z', t'



oba vidí
stejnou vlnu

x, y, z, t

pozorovatel

Lorentzova transformace

$$x' = \gamma(x - vt)$$

$$y' = y$$

$$z' = z$$

$$t' = \gamma\left(t - \frac{vx}{c^2}\right)$$

fáze rovinné vlny je
invariant

$$\mathbf{kr} - \omega t = \frac{\omega}{c}(\mathbf{nr} - ct), \quad \omega = ck$$

$$\omega(n_x x + n_y y + n_z z - ct) = \omega'(n'_x x' + n'_y y' + n'_z z' - ct')$$

$$\begin{aligned} \omega n_x &= \omega' \gamma(n'_x + \beta) & \omega n_y &= \omega' n'_y \\ \omega &= \omega' \gamma(1 + \beta n'_x) & \omega n_z &= \omega' n'_z \end{aligned}$$

Vlna vysílaná pohyblivým zdrojem, pokračování

$$\begin{aligned}\omega n_x &= \omega' \gamma (n'_x + \beta) & \omega n_y &= \omega' n'_y \\ \omega &= \omega' \gamma (1 + \beta n'_x) & \omega n_z &= \omega' n'_z\end{aligned}$$

opakuji

$$\begin{aligned}n_x &= \frac{n'_x + \beta}{1 + \beta n'_x} & n_y &= \frac{n'_y}{\gamma (1 + \beta n'_x)} \\ \omega &= \omega' \gamma (1 + \beta n'_x) & n_z &= \frac{n'_z}{\gamma (1 + \beta n'_x)}\end{aligned}$$

Vlna vysílaná pohyblivým zdrojem, pokračování

$$\begin{aligned} \omega n_x &= \omega' \gamma (n'_x + \beta) & \omega n_y &= \omega' n'_y \\ \omega &= \omega' \gamma (1 + \beta n'_x) & \omega n_z &= \omega' n'_z \end{aligned}$$

opakuji

$$\begin{aligned} n_x &= \frac{n'_x + \beta}{1 + \beta n'_x} & n_y &= \frac{n'_y}{\gamma(1 + \beta n'_x)} \\ \omega &= \omega' \gamma (1 + \beta n'_x) & n_z &= \frac{n'_z}{\gamma(1 + \beta n'_x)} \end{aligned}$$

DOPPLERŮV
JEV

KOLIMACE V
POMĚRU γ^{-1}

vlastní frekvence záření je ovšem
Larmorova frekvence oběhu
elektronů ... radiofrekvence

$$c/R$$

ta se Dopplerem posune do
zhruba viditelné oblasti

$$\gamma \cdot c/R$$

Vlna vysílaná pohyblivým zdrojem, pokračování

$$\omega n_x = \omega' \gamma (n'_x + \beta) \quad \omega n_y = \omega' n'_y$$

$$\omega = \omega' \gamma (1 + \beta n'_x) \quad \omega n_z = \omega' n'_z$$

opakuji

$$n_x = \frac{n'_x + \beta}{1 + \beta n'_x} \quad n_y = \frac{n'_y}{\gamma (1 + \beta n'_x)}$$

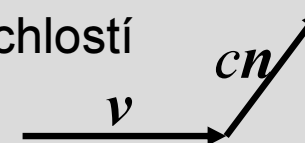
$$\omega = \omega' \gamma (1 + \beta n'_x) \quad n_z = \frac{n'_z}{\gamma (1 + \beta n'_x)}$$

DOPPLERŮV
JEV

KOLIMACE V
POMĚRU γ^{-1}

Je to přesně učebnicové odvození aberace a relativistického výrazu pro Dopplerův efekt

Fotonová interpretace: vynásobením c máme relativistické skládání rychlostí



vlastní frekvence záření je ovšem Larmorova frekvence oběhu elektronů ... radiofrekvence

$$c / R$$

ta se Dopplerem posune do zhruba viditelné oblasti

$$\gamma \cdot c / R$$

Kolimace synchrotronového záření

**KLASICKÝ
OBRÁZEK ZE
VŠECH UČEBNIC**

při pomalém pohybu
elektron na kruhové
dráze září jako
superposice dvou
vzájemně kolmých
dipólů, tedy

**kosinový zářič s
okamžitým dipólem
kolmým na tečnu ke
kruhové dráze**

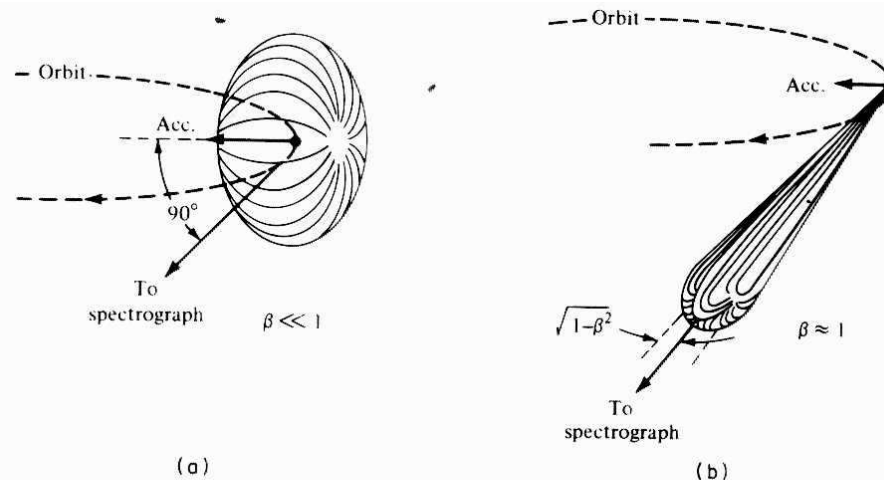


Figure 17.1 Angular intensity distribution of slow (a) and relativistic (b) electrons on a circular orbit. The dipole pattern (a) is strongly distorted (b) into the forward direction because of the relativistic speed of the electron; β , velocity in units of c . (From Tombouliau and Hartman⁵)

při rychlém pohybu
elektron na kruhové
dráze sám sebe
vnímá jako
superposici dvou
vzájemně kolmých
dipólů,

**pozorovatel však
vnímá vlny po
Lorentzově
transformaci, tedy
silně kolimované
vpřed**

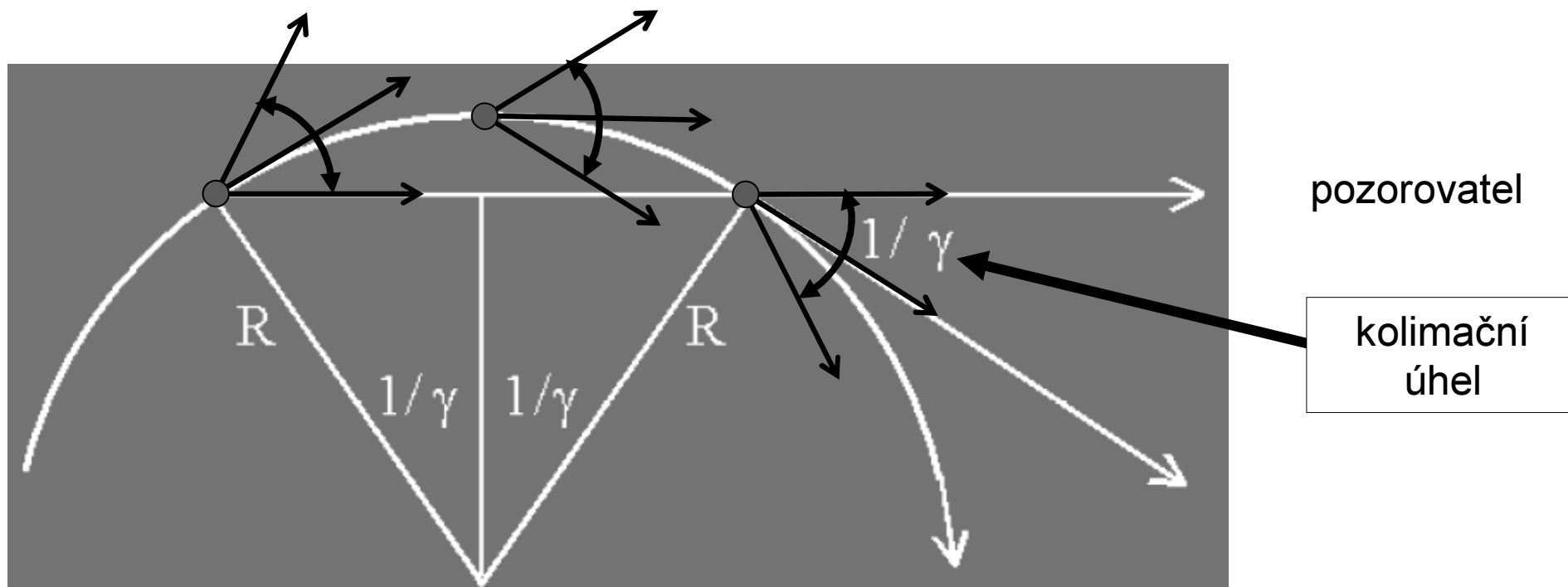
$$n_x = \frac{n'_x + \beta}{1 + \beta n'_x} > 0$$

$$\text{pro } 1 > n'_x > -\beta \quad \square \quad -\left(1 - \frac{1}{\gamma^2}\right)$$

**" vidíme elektron i
zezadu"**

Spektrální a celková intenzita SR

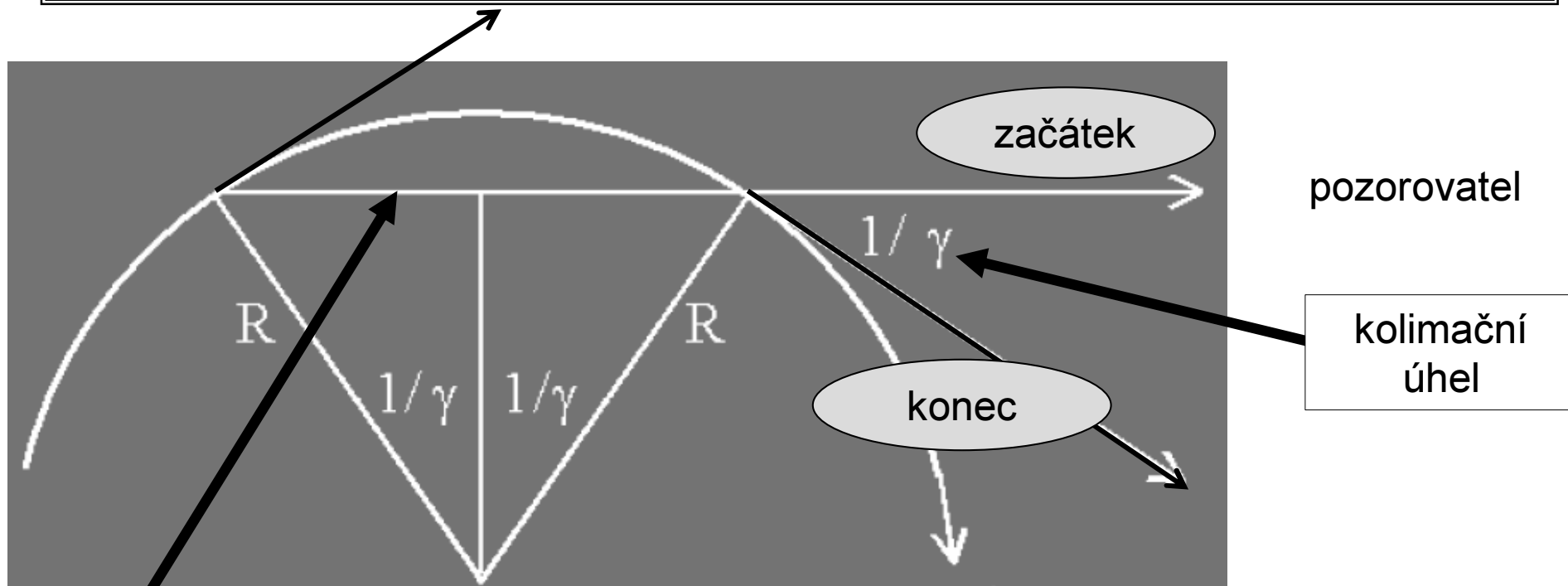
Pozorování záblesku SZ od prolétajícího elektronu



geometricky je pozorovatel v kolimačním kuželi po dobu přejezdu elektronu obloukem
světlo ze vzdálených částí se však opožďuje o dobu letu
trvání záblesku = doba přejezdu elektronu obloukem – doba letu fotonů těživou

Doba záblesku a spektrální obor SZ

trvání záblesku = doba přejezdu elektronu obloukem – doba letu fotonů tělivou



dráha fotonů

elektron

$$\Delta t = \frac{2R}{c} \left\{ \frac{1}{\beta\gamma} - \sin \frac{1}{\gamma} \right\} \approx \frac{2R}{c} \left\{ \frac{1}{\gamma} \left(1 + \frac{1}{2\gamma^2} \right) - \frac{1}{\gamma} + \frac{1}{6\gamma^3} \right\}$$

$$\Delta t = \frac{4R}{3c} \cdot \frac{1}{\gamma^3}$$

Spektrální obor SZ -- pokračování

použijeme
" relací neurčitosti"
čas × frekvence $\sim 2\pi$

$$\Delta t = \frac{4R}{3c} \cdot \frac{1}{\gamma^3}$$

$$\omega_S = \dots \omega_L \times \gamma^3$$

$$\omega_L = \frac{v}{R} \approx \frac{c}{R}$$

dobrý odhad charakteristické
frekvence

... DOSTANEME SE DO VELMI VYSOKÝCH
FREKVENCÍ, ZPRAVIDLA V RTG OBLASTI

Přesný výpočet spektrální intenzity

$$\frac{dW}{d\omega} = \text{const} \times F(\omega / \omega_C) \quad \text{univerzální funkce}$$

$$\omega_C = \frac{3}{2} \frac{eB}{m_0} \gamma^2 = \frac{3}{2} \omega_L \gamma^3$$

Přesný výpočet spektrální intenzity

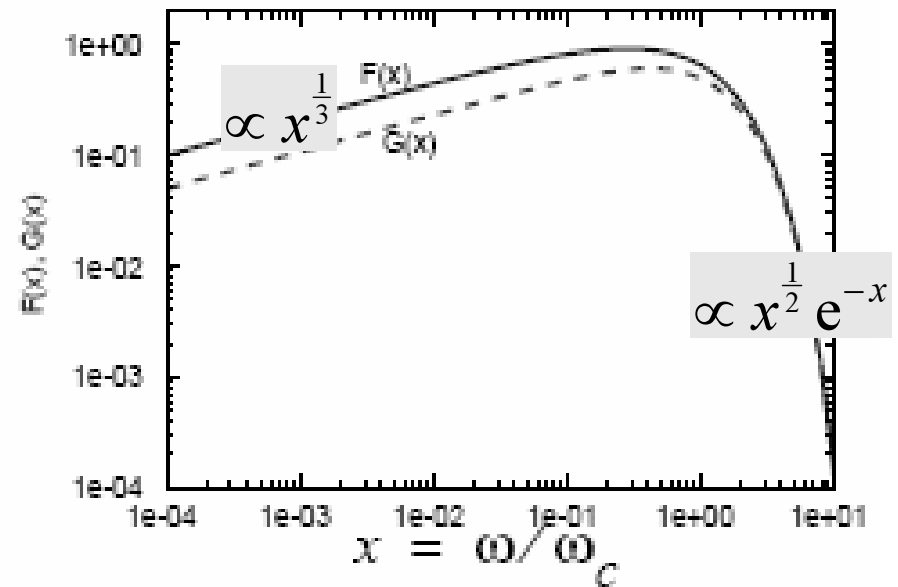
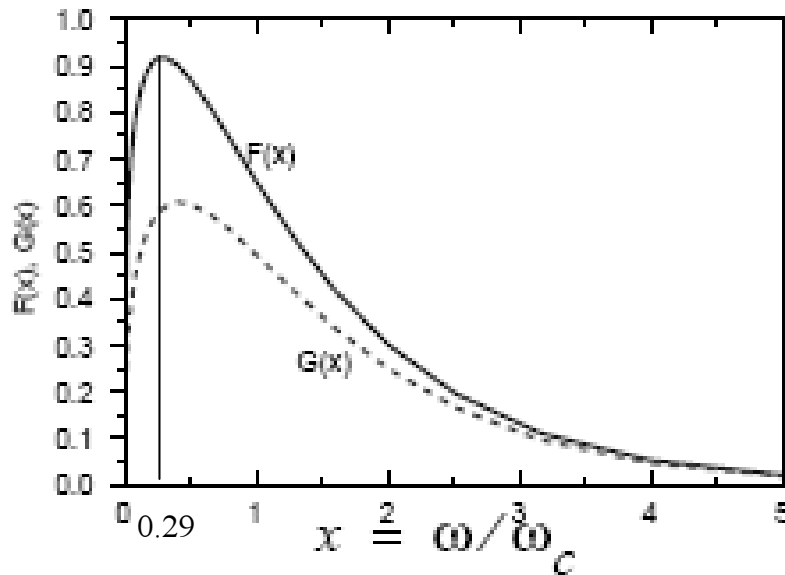
$$\frac{dW}{d\omega} = \text{const} \times F(\omega / \omega_C) \quad \text{univerzální funkce}$$

$$\omega_C = \frac{3}{2} \frac{eB}{m_0} \gamma^2 = \frac{3}{2} \omega_L \gamma^3 = \frac{3}{2} \omega_S \quad \dots \text{O.K.}$$

Přesný výpočet spektrální intenzity

$$\frac{dW}{d\omega} = \text{const} \times F(\omega / \omega_C) \quad \text{univerzální funkce}$$

$$\omega_C = \frac{3}{2} \frac{eB}{m_0} \gamma^2 = \frac{3}{2} \omega_L \gamma^3$$



Zářivý výkon elektronu

$$W = \frac{dE}{dt} = \frac{1}{6\pi\epsilon_0 c} \frac{e^4}{m_0^2} B^2 \gamma^2 \quad \text{za jednotku času}$$

Za jeden oběh

$$\begin{aligned} \frac{dE}{dt} \frac{2\pi}{\omega_L} &= \frac{1}{3\epsilon_0 c} \frac{e^3}{m_0} B \gamma^3 = \frac{e^2}{3\epsilon_0 c} \omega_L \gamma^4 \\ &= \frac{4\pi}{3} \alpha \cdot \hbar \omega_L \gamma^4 = \frac{4\pi}{3} \alpha \cdot \hbar \omega_S \gamma \end{aligned}$$

$$\alpha = \frac{e^2}{4\pi\epsilon_0 \hbar c} \approx \frac{1}{137}$$

konstanta jemné struktury

Hierarchie energií

jeden foton	ztráty za jeden oběh	energie elektronu
-------------	----------------------	-------------------

$\hbar \omega_S$	$\frac{4\pi}{3} \alpha \gamma \cdot \hbar \omega_S$	$m_0 c^2 \gamma$
------------------	---	------------------

Zářivý výkon elektronu

$$W = \frac{dE}{dt} = \frac{1}{6\pi\epsilon_0 c} \frac{e^4}{m_0^2} B^2 \gamma^2 \quad \text{za jednotku času}$$

Za jeden oběh

$$\begin{aligned} \frac{dE}{dt} \frac{2\pi}{\omega_L} &= \frac{1}{3\epsilon_0 c} \frac{e^3}{m_0} B \gamma^3 = \frac{e^2}{3\epsilon_0 c} \omega_L \gamma^4 \\ &= \frac{4\pi}{3} \alpha \cdot \hbar \omega_L \gamma^4 = \frac{4\pi}{3} \alpha \cdot \hbar \omega_S \gamma \end{aligned}$$

$$\alpha = \frac{e^2}{4\pi\epsilon_0 \hbar c} \approx \frac{1}{137}$$

konstanta jemné struktury

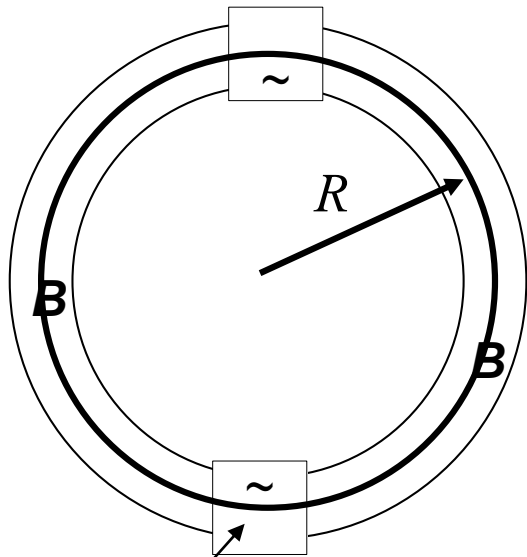
Hierarchie energií

jeden foton	ztráty za jeden oběh	energie elektronu
-------------	----------------------	-------------------

$\hbar \omega_S$	□	$\frac{4\pi}{3} \alpha \gamma \cdot \hbar \omega_S$	□	$m_0 c^2 \gamma$
------------------	---	---	---	------------------

... tak bychom si to přáli

Vkládání energie



synchronisované
střídavé
urychlovací
napětí

kompensuje
vyzařovací
ztráty

výkon elektrického pole $W = e\mathbf{E}\mathbf{v}$

pohybová rovnice $\frac{d}{dt}(m\mathbf{v}) = e(\mathbf{E} + \mathbf{v} \times \mathbf{B})$

počítáme

$$W = \mathbf{v} \frac{d}{dt}(m\mathbf{v}) = m_0 c^2 \left[\beta^2 \frac{d}{dt} \gamma + \gamma \frac{d}{dt} \left(\frac{1}{2} \beta^2 \right) \right]$$

$$W = m_0 c^2 \cdot \frac{d}{dt} \gamma = \frac{d}{dt} E$$

$$-\frac{1}{2} \frac{\gamma}{1 - \beta^2} \frac{d}{dt} (\beta^2)$$

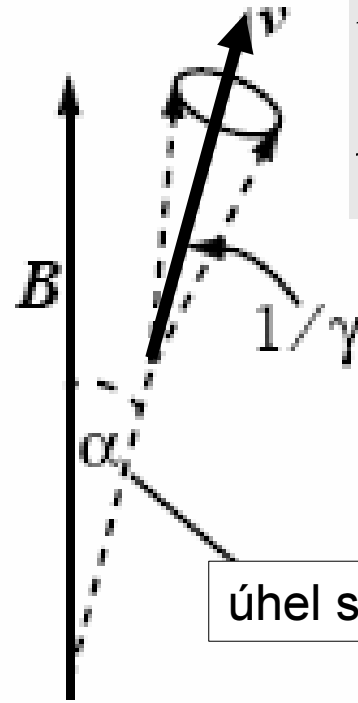
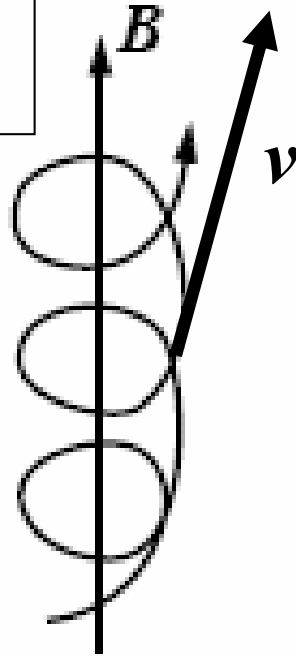
jak elektron těžkne, jde to stále pomaleji

Zpět k synchrotronu v Kosmu i na Zemi

Jak tedy SR v mlhovinách
a
v současných zdrojích SR na Zemi
vzniká

Kosmický synchrotron

elektrony se pohybují po spirálách



$$\mathbf{v} = \mathbf{v}_{\parallel} + \mathbf{v}_{\perp}$$
$$v_{\perp} = v \cdot \sin \alpha$$

úhel stoupání

vzorce je nutno trochu upravit

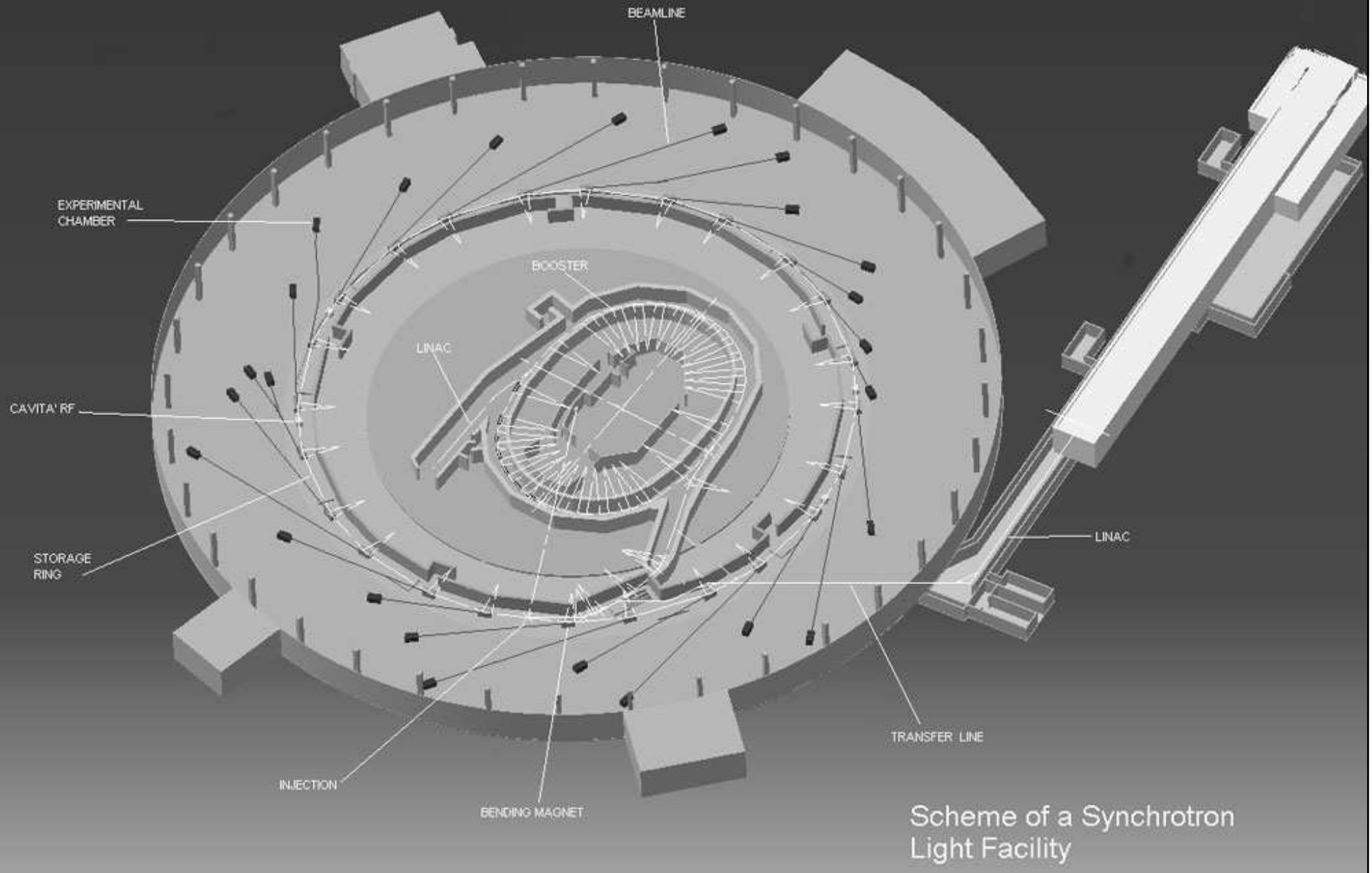
PŘÍKLAD:

$$\omega_C = \frac{3}{2} \frac{eB}{m_0} \gamma^2 \sin \alpha = \frac{3}{2} \frac{eB}{m} \gamma^3 \sin \alpha$$

↑
 ω_L nemění se

Storage Ring
(akumulační prsteneč)

Elettra Trieste



Scheme of a Synchrotron Light Facility

Vzorce a odhady

$$\gamma = \frac{eB}{m_0 c} R \cdot \beta^{-1} \approx \frac{eB}{m_0 c} R \cdot (1 + \cancel{\gamma^2}) \quad \omega_L = \frac{eB}{m_0} \gamma^{-1} = \frac{v}{R} \approx \frac{c}{R}$$

$$\omega_C = \frac{3}{2} \frac{eB}{m_0} \gamma^2 = \frac{3}{2} \omega_L \gamma^3$$

$$E = 0.3BR \quad \text{GeV T m}$$

$$\omega_L = 0.3R^{-1} \quad \text{GHz m}$$

$$\gamma = 2000E \quad \text{1 GeV}$$

$$\omega_C = 0.45R^{-1}\gamma^3 \quad \text{GHz m}$$

$$\hbar\omega_C = 0.20 \times 10^{-6} R^{-1}\gamma^3 \quad \text{eV m}$$

$$\lambda_C = \frac{4\pi}{3} R\gamma^{-3} \quad \text{m m}$$

v Kosmu

$$E = 5 \text{ GeV}, B = 1 \text{ nT} \Rightarrow R = 1.5 \times 10^{10} \text{ m}$$

$$\omega_L = 0.02 \text{ Hz} \quad \omega_C = 30 \text{ GHz}$$

pozemský synchrotron

$$E = 5 \text{ GeV}, B = 1 \text{ T} \Rightarrow R = 1.5 \times 10^1 \text{ m}$$

$$\omega_L = 2 \text{ MHz} \quad \hbar\omega_C = 1.30 \text{ keV}$$

Spektrální charakteristiky synchrotronů

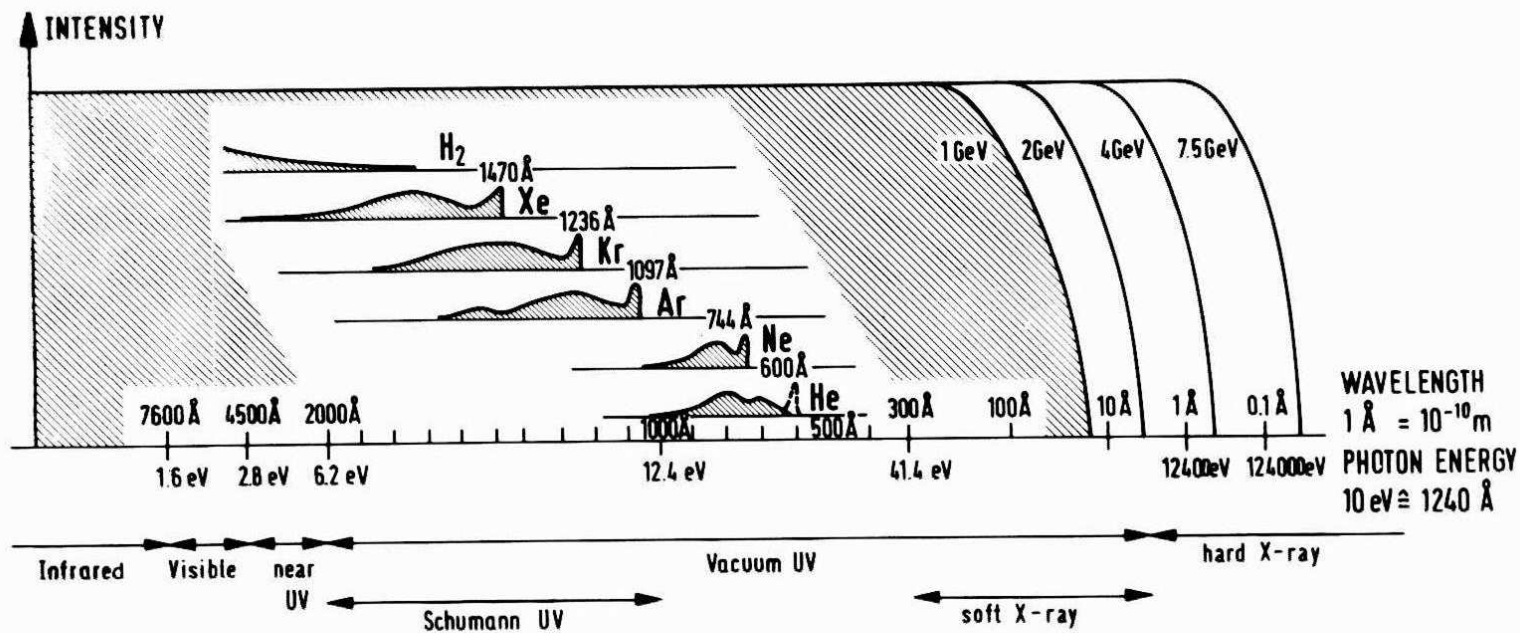


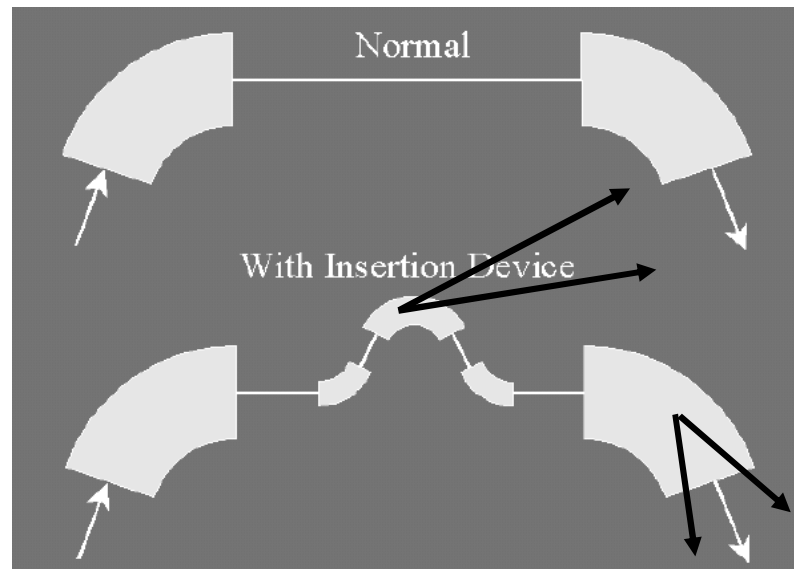
Figure 17.6 Schematic comparison of spectral distribution of synchrotron radiation from a synchrotron at different acceleration energies with the continua emitted by several discharge lamps (after Tanaka, Jursa, and LeBlank³⁶). The intensities are roughly on scale. (From Koch³⁸)

Wigglerly a undulátory

to wiggle *třepat se*

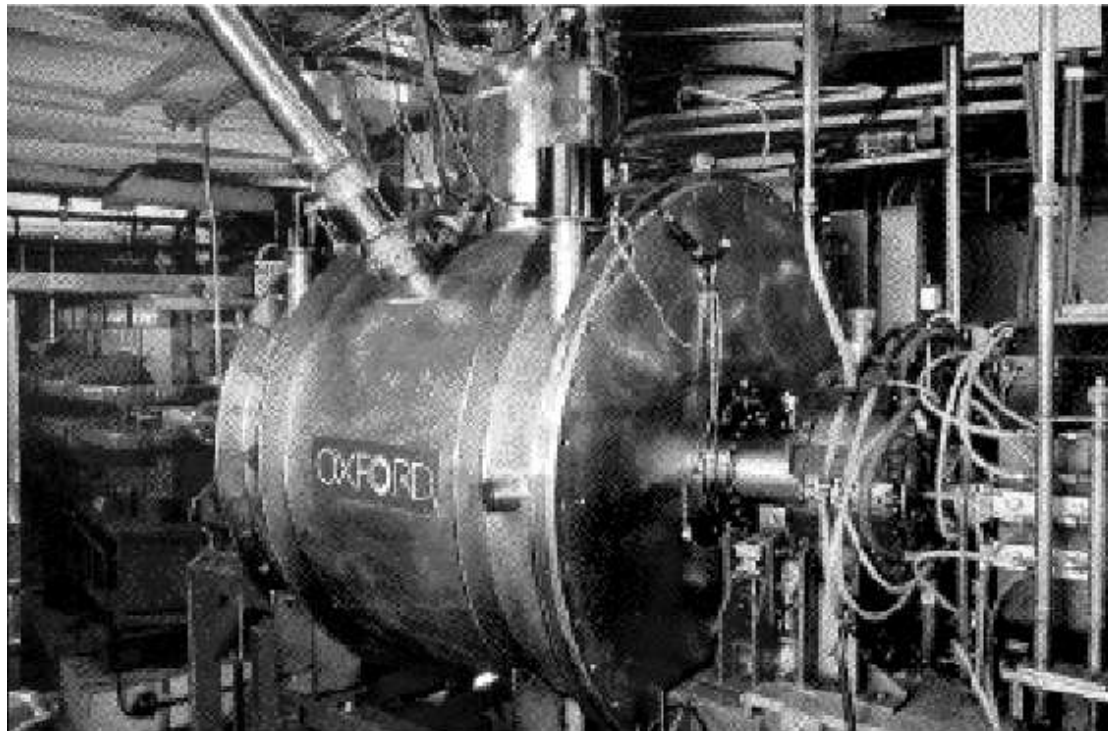
Za krátkými vlnovými délkami: wiggler a undulátory

- Nejlepší zdroj SZ má co nejvíc rovných úseků spojených ohyby (*bends*)
- Čím menší poloměr tím vyšší mezní frekvence SZ
- Nápad: do rovného úseku vložit „frequency shifter“



Za krátkými vlnovými délkami: wiggler a undulátory

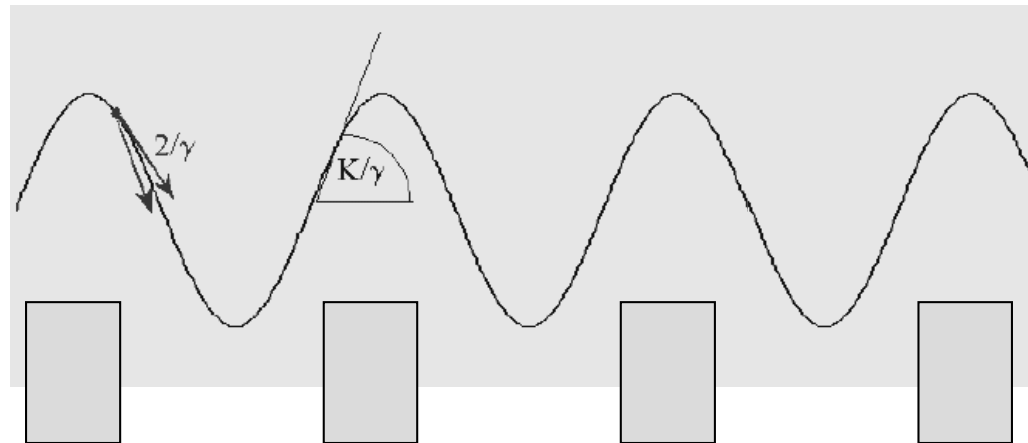
- Nejlepší zdroj SZ má co nejvíc rovných úseků spojených ohyby (*bends*)
- Čím menší poloměr tím vyšší mezní frekvence SZ
- Nápad: do rovného úseku vložit „frequency shifter“



supravodivý magnet 6 T

Za krátkými vlnovými délkami: wiggler a undulátory

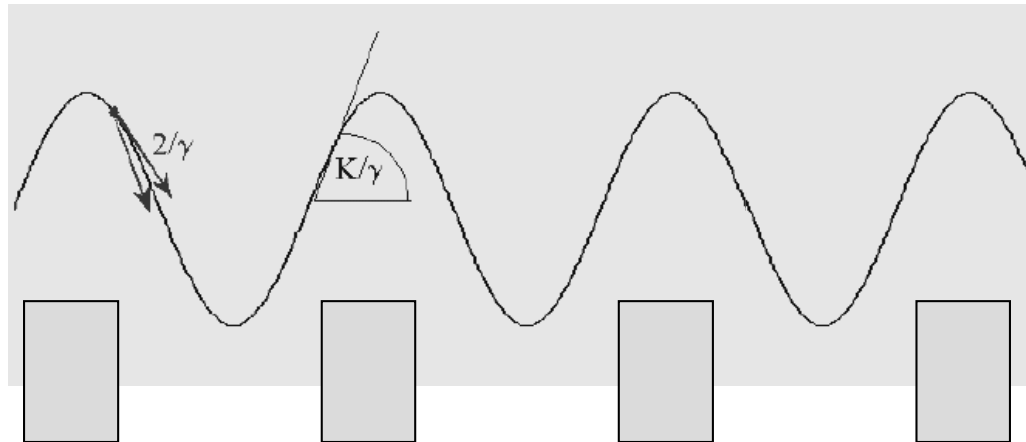
- Nejlepší zdroj SZ má co nejvíc rovných úseků spojených ohyby (*bends*)
- Čím menší poloměr tím vyšší mezní frekvence SZ
- Nápad: do rovného úseku vložit „frequency shifter“
- Více magnetů za sebou: wiggler



Za krátkými vlnovými délkami: wiggler a undulátory

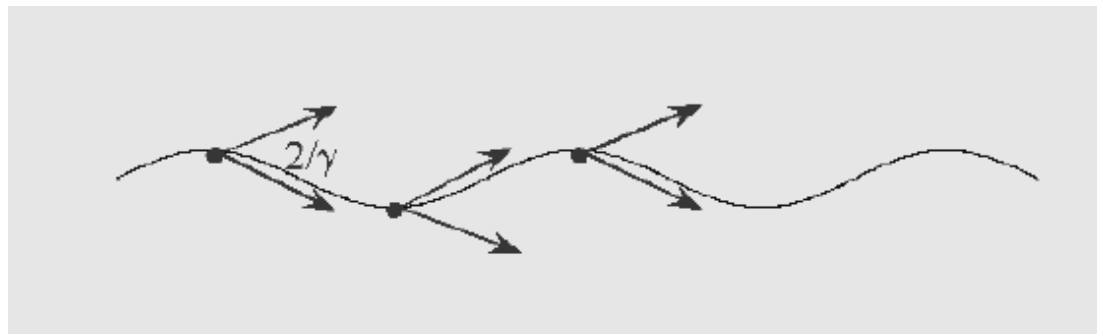
- Nejlepší zdroj SZ má co nejvíc rovných úseků spojených ohyby (*bends*)
- Čím menší poloměr tím vyšší mezní frekvence SZ
- Nápad: do rovného úseku vložit „frequency shifter“
- Více magnetů za sebou: wiggler

kolimační kužele se nepřekrývají, sčítají se intensity



Za krátkými vlnovými délkami: wiggler a undulátory

- Nejlepší zdroj SZ má co nejvíc rovných úseků spojených ohyby (*bends*)
- Čím menší poloměr tím vyšší mezní frekvence SZ
- Nápad: do rovného úseku vložit „frequency shifter“
- Více magnetů za sebou: wiggler
kolimační kužele se nepřekrývají, sčítají se intensity
- Více magnetů za sebou: undulátor
kolimační kužele se překrývají, sčítají se amplitudy, INTERFERENCE!



Závěr

Toto jsou zdroje SZ **třetí generace.**

Na obzoru je ale už **čtvrtá.**

O té snad někdy příště ...

The end